

# CNPC2023 近球形核 $^{94}\text{Nb}$ 的高自旋态研究

李韵秋<sup>1</sup>, 李聪博<sup>1</sup>, 郑云<sup>1</sup>, 李天晓<sup>1</sup>, 吴晓光<sup>1</sup>, 洪锐<sup>1, 2</sup>, 吴鸿毅<sup>1</sup>, 郑敏<sup>1</sup>

赵子豪<sup>1, 3</sup>, 贺子阳<sup>1</sup>, 李金泽<sup>1</sup>, 李广顺<sup>4</sup>, 郭成宇<sup>5</sup>, 倪磊<sup>5</sup>, 周振翔<sup>5</sup>

郭冰<sup>1</sup>, 贺创业<sup>1</sup>, 刘伏龙<sup>1</sup>, 周小红<sup>4</sup>, 柳敏良<sup>4</sup>, 张玉虎<sup>4</sup>, 王守宇<sup>6</sup>, 王硕<sup>6</sup>

竺礼华<sup>7</sup>

(1 中国原子能科学研究院, 北京 102413;

2 西华大学理学院, 四川 成都 610039;

3 吉林大学物理学院, 吉林 长春 130023;

4 中国科学院近代物理研究所, 甘肃 兰州 730000;

5 北京大学物理学院, 核物理与核技术国家重点实验室, 北京 100091;

6 山东大学(威海)物理学院, 山东 威海 264209;

7 北京航空航天大学物理科学与核能工程学院, 北京 100191; )

**摘要:**通过重离子融合蒸发反应  $^{82}\text{Se}(^{18}\text{O}, \text{p}5\text{n})^{94}\text{Nb}$ , 布居了  $^{94}\text{Nb}$  的高自旋态, 实验中使用的  $^{18}\text{O}$  束流由中国原子能科学研究院的 HI-13 串列加速器提供, 束流能量为 82MeV 和 88MeV。在前人工作的基础上发现了 15 条新的  $\gamma$  跃迁并调整了部分能级的摆放位置, 丰富并完善了  $^{94}\text{Nb}$  的能级纲图, 结合 DC0 比值和线极化测量, 确认了部分能级的自旋和宇称。在质子  $\pi(1f_{5/2}, 2p_{3/2}, 2p_{1/2}, 1g_{9/2})$  和中子  $\nu(2p_{1/2}, 1g_{9/2}, 1g_{7/2}, 2d_{5/2})$  空间下对  $^{94}\text{Nb}$  新的能级结构与壳模型计算进行了比较和讨论。

**关键词:** 高自旋态; 在束谱学; 原子核壳模型计算

**中图分类号:** O571.23 **文献标志码:** A **doi:**

## 1 引言

A~90, N~50 核区的原子核大多数都具有球形或近球形结构, 激发态以内禀单粒子激发为主<sup>[1][2][3][4]</sup>。丰中子核  $^{94}\text{Nb}$  ( $Z=41, N=53$ ) 相对  $Z=38$  子壳及  $N=50$  闭壳外有 3 个价质子和 3 个价中子, 其能级要在较大的  $\pi(f_{5/2}, p_{3/2}, p_{1/2}, g_{9/2})$  和  $\nu(d_{5/2}, s_{1/2}, d_{3/2}, g_{7/2}, h_{11/2})$  空间内用壳模型理论得到解释。通过本组之前对 Nb 同位素的研究发现: 对于  $N \leq 50$  核素, 低位能级主要涉及质子在  $\pi(p_{1/2}, g_{9/2})$  轨道的激发; 激发能达到 4~5MeV 时  $N=50$  的中子满壳能够被打破, 形成中子粒子-空穴 [ $(g_{9/2})^{-1}(d_{5/2})^1$ ] 组态核芯激发。对  $N > 50$  的 Nb 同位素的中等自旋能级可由  $Z=38$  的核芯激发或  $N=56$  的核芯激发形成; 对于这些核素, 更高自旋的能级才涉及  $N=50$  的核芯激发(粒子-空穴激发)<sup>[2][3][4][5]</sup>。

在本实验之前, N.Ma~rginean 等人通过  $^{19}\text{F}(^{82}\text{Se}, \alpha 3n\gamma)^{94}\text{Nb}$  反应将  $^{94}\text{Nb}$  的自旋(能量)推高到 18 (

**收稿日期:** yyyy-mm-dd; **修改日期:** yyyy-mm-dd

**基金项目:** 国家自然科学基金资助项目(11975315, U1932209, U2167202, U2167201)

**作者简介:** 李韵秋(1999—), 女(汉), 黑龙江省, 硕士研究生, 粒子物理与原子核物理; E-mail: 1727715916@qq.com

**通信作者:** 李聪博, E-mail: licb@ciae.ac.cn

6.5MeV)<sup>[1]</sup>，但宇称和部分自旋未知。因此，进一步扩展 <sup>94</sup>Nb 核的能级纲图，揭示其中子激发与质子激发的竞争和相互作用，是很有意义的。

本文将详细介绍 <sup>94</sup>Nb 高自旋态的实验研究结果,在扩展其能级纲图的基础上,通过壳模型计算以及对邻近核高自旋态能级结构的系统性分析,探讨 <sup>94</sup>Nb 的中子质子激发机制。

## 2 实验和数据分析

本实验采用 <sup>82</sup>Se(<sup>18</sup>O, p5n)<sup>94</sup>Nb 反应来布居 <sup>94</sup>Nb 的高自旋态。实验在中国原子能科学研究院核物理国家实验室 HI-13 串列加速器的新一代伽马探测阵列上完成。探测器阵列由 23 套带 BGO 反康的高纯锗探测器和 5 个 Clover 探测器组成。实验使用的 <sup>18</sup>O 束流能量为 82MeV 和 88MeV，靶核是 <sup>82</sup>Se，靶厚度为 0.85mg/cm<sup>2</sup>，使用厚度为 4.45mg/cm<sup>2</sup> 的 Au 作为衬底。有效束流时间为 108 个小时，共探测到 1.2×10<sup>10</sup> 个双重  $\gamma$ - $\gamma$  符合事件。

经过能量刻度后，将实验数据离线反演为  $\gamma$ - $\gamma$  二维对称矩阵，采用 Linux 下的 GSPware 软件对矩阵进行离线分析，根据与已知  $\gamma$  射线的符合关系结合强度判断，得到了如图 1 所示的 <sup>94</sup>Nb 能级纲图。N.Marginean 等人的文章中观察到的射线在此次实验中均有观察到，图中标红射线是在此次实验中新发现的射线，标蓝射线根据强度关系改变了其摆放位置。

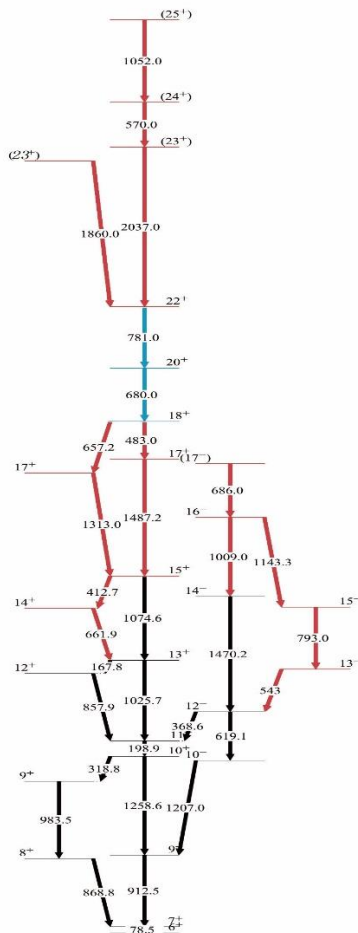


图 1: <sup>94</sup>Nb 能级纲图

原子核自旋取向一定时，其发射 $\gamma$ 射线的概率与原子核自旋方向和发射 $\gamma$ 射线方向的夹角有关。实验上可以通过测量 DCO 比值来提取有关跃迁  $\gamma$  射线多级性的信息，具体操作是将与束流方向成  $150^\circ$  探测器探测的  $\gamma$  射线能量放在 X 轴上，与束流方向成  $90^\circ$  方向探测器探测的  $\gamma$  射线能量放在 Y 轴上，生成一个非对称矩阵，然后通过开窗结果提取各  $\gamma$  射线的 DCO 比值，根据比值对  $\gamma$  射线的多极性做出判断。

DCO 比值的定义为：

$$R_{DCO} = \frac{I_{\gamma 1}(\theta)/\varepsilon_{\gamma 1}(\theta)\varepsilon_{\gamma 2}(90^\circ)}{I_{\gamma 1}(90^\circ)/\varepsilon_{\gamma 1}(90^\circ)\varepsilon_{\gamma 2}(\theta)}$$

其中  $I_{\gamma 1}(\theta)$  为在二维矩阵的 Y 轴上用  $\gamma 2$  开窗得到的  $\gamma 1$  计数， $I_{\gamma 1}(90^\circ)$  为在 X 轴上用  $\gamma 2$  开窗得到的  $\gamma 1$  计数， $\varepsilon_{\gamma}(\theta)$  为除  $90^\circ$  角外的所有探测器对  $\gamma$  射线的探测效率， $\varepsilon_{\gamma}(90^\circ)$  为  $90^\circ$  角的所有探测器对  $\gamma$  射线的探测效率。

图 2 给出了对属于  $^{94}\text{Nb}$  的  $\gamma$  跃迁（912keV）进行开窗后得到的 DCO 结果，文献<sup>[1]</sup>中认为该跃迁是一个  $\Delta I=2$  的跃迁，此次实验得到的 DCO 比值证实了 912keV 是一个  $\Delta I=2$  的跃迁。图上可以看出 DCO 比值明显分为两组，DCO 比值位于 0.5 附近的跃迁  $\Delta I=1$ ，位于 1.0 附近的跃迁  $\Delta I=2$ ，DCO 值中可能会带入其他原子核的污染，导致结果偏离 0.5 和 1.0，这种情况需要计算多个与其有级联关系的  $\gamma$  射线的 DCO 比值，才能确定其跃迁极性。

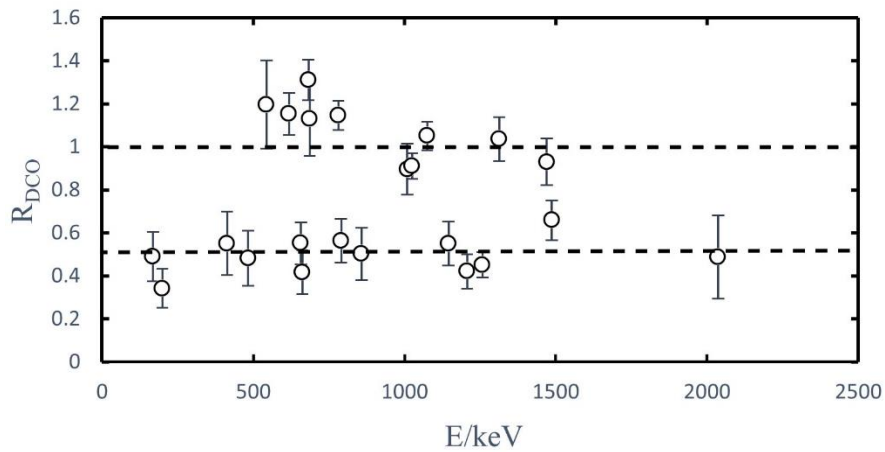


图 2：DCO 测量结果（对基态跃迁 912keV 进行开窗）

线极化测量可以确定  $\gamma$  射线的电磁跃迁特性，其原理是线性极化的  $\gamma$  射线方向分布取决于辐射的类型（磁跃迁/电跃迁），线极化度的表达式为： $P(\theta) = \frac{A(\theta)}{Q(\phi, E_\gamma)}$ ，其中  $A(\theta) = \frac{a(E_\gamma)N_{\perp} - N_{\parallel}}{a(E_\gamma)N_{\perp} + N_{\parallel}}$ ， $A(\theta)$  为非对称度， $N_{\parallel}$  和  $N_{\perp}$  分别是与反应平面平行和垂直的康普顿散射事件的计数， $a$  是 Clover 探测器对平行和垂直散射的  $\gamma$  射线探测效率的比值。Clover 探测器有四块晶体，如图 3 所示，实验时把 Clover 探测器放在与束流垂直的方向上， $\gamma$  射线入射到任一个晶体上时，将与之相邻的两个晶体在加和时间窗（80ns）内探测到的散射光

子认为是垂直和平行的康普顿事件。

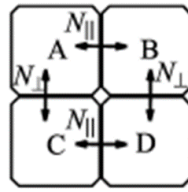


图 3: Clover 探测器示意图

实际上 Clover 探测器四块晶体的探测效率有一定差别，因此需要修正探测器在两个散射方向上的探测效率，使用本身无极化效应的放射源  $^{133}\text{Ba}$  和  $^{152}\text{Eu}$ ，将所有 Clover 探测器水平和垂直方向谱叠加后提取峰面积，根据公式  $a = \frac{N_{||}}{N_{\perp}}$ ，得到参数  $a$ ，用直线拟合  $a$  随能量的变化，拟合曲线如图 4 所示。可以看到  $a$  在 300~1400keV 范围内分布在 1.0 左右，且随着能量的升高呈现降低趋势。

拟合公式为： $a = 0.99517 - 2.66262E^{-5} \times E$ 。

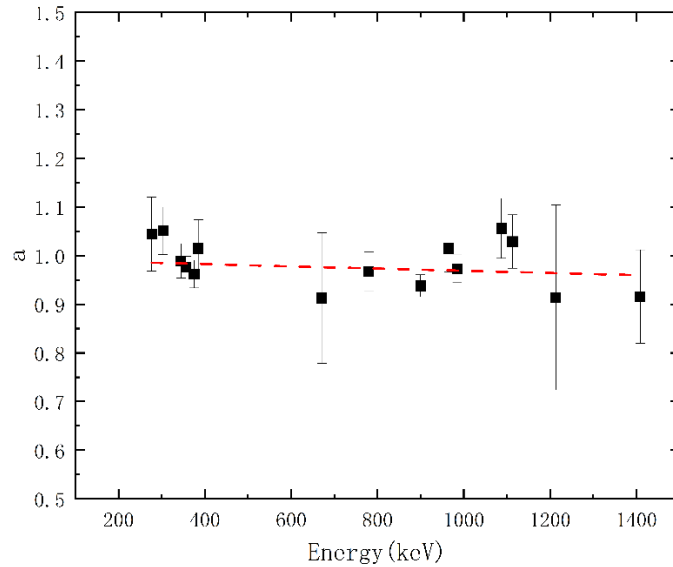


图 4: Clover 探测器极化效率  $a$  拟合曲线。

为筛选更干净的能谱，在进行线极化数据的离线处理时建立两个非对称矩阵，将 Clover 探测器平行和垂直方向的康普顿符合事件能谱分别放在两个矩阵的 X 轴，将高纯锗探测器探测到的能谱放在 Y 轴，当高纯锗探测器和 Clover 探测器的两路在符合时间窗内同时探测到入射事件时，才认为它是一个符合事件，使用的符合时间窗是 80ns。由于单一能量的开窗谱计数较少，将数个与目标能量有级联关系且污染较少的开窗谱进行叠加。

图 5 给出了对 199,1025,1075,1470,483,681keV 进行开窗后叠加的部分结果，图中可以看到 912keV 的水平方向计数明显小于垂直方向计数，结合之前的 DCO 测量可判断 912keV 是一个电四极跃迁。以此类推可得到其他  $\gamma$  跃迁的电磁特性。

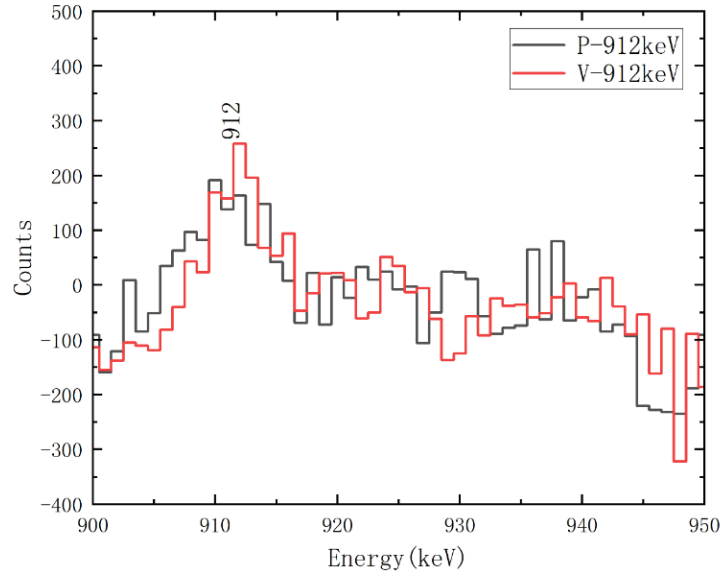


图 5: 对 199,1025,1075,1470,483,681keV 开窗后的叠加结果 (截取 912keV 部分)

### 3 讨论

考虑到  $^{94}\text{Nb}$  的同位素  $^{90}, ^{92}\text{Nb}$ , 以及邻核  $^{94-96}\text{Tc}$ , 均使用壳模型计算获得了与实验较为符合的结果; 且  $^{94}\text{Nb}$  的质子数为 41, 中子数为 53, 是近球形核。在计算  $^{94}\text{Nb}$  的能级时使用壳模型, 采用 NUSHELLX 进行计算。在截断方式上, 目前尝试的截断方式为  $(f_{5/2})^{4-6}, (p_{3/2})^{2-4}, (p_{1/2})^{0-2}, (g_{9/2})^{1-5}; \nu(f_{5/2})^{6-6}, (p_{3/2})^{4-4}, (p_{1/2})^{2-2}, (g_{9/2})^{9-10}, (g_{7/2})^{0-2}, (d_{5/2})^{1-4}, (d_{3/2})^{0-2}, (s_{1/2})^{0-2}$  采用的核芯为  $^{66}\text{Ni}$ , 相互作用势为 GWBXXG。各能态的计算结果和实验结果的比较如图 6, 7 所示。

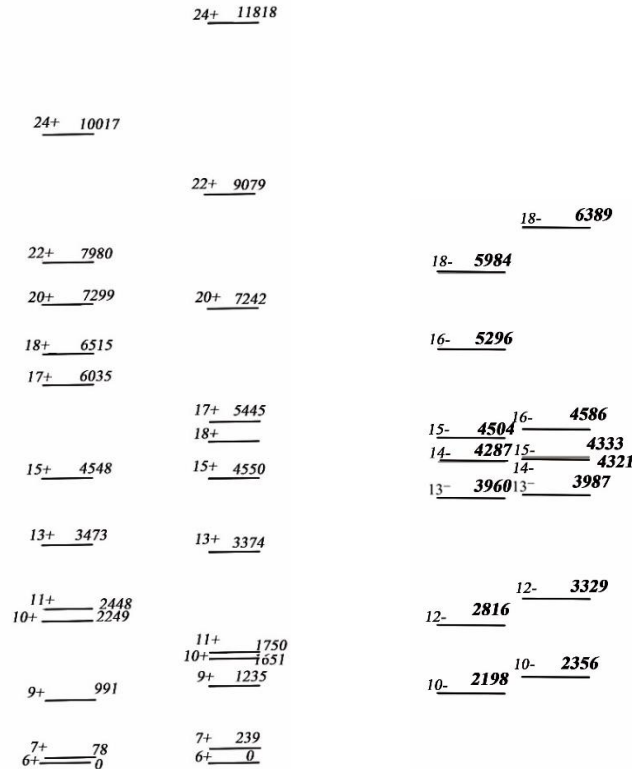


图 6: 正宇称实验结果 (左) 与计算结果 (右)

图 7: 负宇称实验结果 (左) 与计算结果 (右)

正宇称的计算结果显示在  $6^+$  到  $7^+$  的组态涉及质子对激发, 即一对  $p_{1/2}$  轨道上的质子激发到  $g_{9/2}$  轨道上;  $13^+$  和  $15^+$  的组态涉及到一个  $f_{5/2}$  轨道上的质子激发到  $p_{1/2}$  轨道上; 将  $17^+$  和  $18^+$  的组态指定为  $\pi [(2p_{1/2})^0 (1g_{9/2})^3] \otimes \nu (1g_{7/2})^1 (2d_{5/2})^1 (3s_{1/2})^1$ ; 计算结果表明在正宇称中  $26^+$  的组态涉及中子核芯激发, 即一个  $g_{9/2}$  轨道上的中子跨越  $N=50$  的壳层激发到  $g_{7/2}$  轨道上, 可惜的是本次实验未观测到。

负宇称的计算结果显示  $10^-$  态可表示为  $g_{9/2}$  轨道的未配对质子耦合上  $d_{5/2}$  的未配对中子;  $12^-$  到  $16^-$  态涉及一个质子从  $p_{1/2}$  轨道激发到  $g_{9/2}$  轨道;  $18^-$  态涉及到  $f_{5/2}$  轨道的一个质子激发到  $p_{1/2}$  轨道; 截止至  $18^-$  未发现中子核芯激发。

图中可以看出, 计算结果的  $10^+$  和  $11^+$  态与实验结果相差较大, 计算能级能量偏低; 且高自旋态 ( $24^+, 18^-$ ) 的计算结果与实验结果相差较大。造成这一现象的原因可能是模型采用的截断空间过小, 遗漏了占主导地位的组态。

## 4 结论

本工作利用重离子熔合蒸发反应  $^{82}\text{Se} (^{18}\text{O}, p5n) ^{94}\text{Nb}$  布居了丰中子核  $^{94}\text{Nb}$  的高自旋态, 扩展了 Nb 核区的原子核结构信息; 结合 DCO 和线极化测量, 确定了部分能级的宇称和自旋; 在前人基础上新发现了 15 条  $\gamma$  跃迁并根据强度修正了两条射线的摆放顺序。使用壳模型对  $^{94}\text{Nb}$  的能级和组态进行了计算, 发现在目前使用的截断空间内计算结果与实验结果有一定差距, 计划后续修改截断空间并换用更大的组态空间, 加入  $h_{11/2}$  轨道进行再次计算。

本工作是在中国原子能科学研究院串列加速器上完成的, 感谢加速器运行组为本实验提供了稳定的束流。

## 参考文献 (References)

- [1] N Mařginean, D Bucurescu, Ghe Cařta-Danil, *et al.* High-spin states in the  $^{94}\text{Nb}$  nucleus [j]. Phys Rev C, 2000, 62: 034309. doi: 10.1103/PhysRevC.62.034309
- [2] Cui X Z, Zhu L H, Wu X G, *et al.* High-spin states and shell structure of the odd-odd nucleus  $^{90}\text{Nb}$  [j]. Phys Rev C, 2005, 72: 044322. doi: 10.1103/PhysRevC.72.044322
- [3] Luo P W, Wu X G, Sun H B, *et al.* High-spin level structure of the semi-magic nucleus  $^{91}\text{Nb}$  [j]. Phys Rev C, 2014, 89, 034318. doi: 10.1103/PhysRevC.89.034318
- [4] W Y Heng, L J Bin, L P Wei, *et al.* High-Spin States in the Odd-Odd Nucleus  $^{92}\text{Nb}$  [j]. CHIN PHYS LETT, 2014, 34, 042102. doi: 10.1088/0256-307X/31/4/042102
- [5] Wu Y H, Lu J B, Ren Zhen, *et al.* Level structure of the  $^{93}\text{Nb}$  nucleus and systematics of features in neighboring nuclei [j]. Phys Rev C, 2022, 105: 034344. doi: /10.1103/PhysRevC.105.034344
- [6] K Starosta, T Morek, Ch. Droste, *et al.* Experimental test of the polarization direction correlation method (PDCO) [j]. Nuclear Instruments and Methods in Physics Research A, 1999, 423: 16 – 26. doi: /10.1016/S0168-9002(98)01220-0
- [7] 方永得, 张玉虎, 周小红等. Clover 探测器的极化测量 [j]. 高能物理与核物理, 2007, 31(10): 938—941.
- [8] 崔兴柱, 竺礼华, 吴晓光等.  $^{90}\text{Nb}$  和  $^{91}\text{Nb}$  的高自旋态结构 [j]. 高能物理与核物理, 2004, 28: 27—30.

# High-spin states in near stable nucleus $^{94}\text{Nb}$

LI Yun-qiu<sup>1</sup>, LI Cong-bo<sup>1</sup>, ZHENG Yun<sup>1</sup>, LI Tian-xiao<sup>1</sup>, WU Xiao-guang<sup>1</sup>, HONG Rui<sup>1,2</sup>, WU Hong-yi<sup>1</sup>, ZHENG Min<sup>1</sup>  
ZHAO Zi-hao<sup>1,3</sup>, HE Zi-yang<sup>1</sup>, LI Jin-ze<sup>1</sup>, LI Guang-shun<sup>4</sup>, GUO Cheng-yu<sup>5</sup>, NI Lei<sup>5</sup>, ZHOU Zhen-xiang<sup>5</sup>, GUO Bing<sup>1</sup>  
HE Chuang-ye<sup>1</sup>, LIU Fu-long<sup>1</sup>, ZHOU Xiao-hong<sup>3</sup>, LIU Min-liang<sup>3</sup>, ZHANG Yu-hu<sup>3</sup>, WANG Shou-yu<sup>6</sup>, WANG Shuo<sup>6</sup>

ZHU Li-hua<sup>7</sup>

(1 China Institute of Atomic Energy, Beijing 102413;

2 Department of Science, Xihua University, Chengdu Sichuan, 610039;

3 Department of Physics, Jilin University, Changchun, Jilin 130023;

4 Institute of Modern Physics, Chinese Academy of Sciences, Lanzhou, Gansu 730000;

5 State Key Laboratory of Nuclear Physics and Technology, Department of Physics, Peking University, Beijing 100091;

6 Department of Physics, Shandong University (Weihai), Weihai Shandong 264209;

7 Physical and Nuclear Energy and Engineering, Beihang University, Beijing 100191;)

**Abstract:** High spin states of  $^{94}\text{Nb}$  have been studied with the  $^{82}\text{Se}(^{18}\text{O}, p5n)^{94}\text{Nb}$  fusion evaporation reaction at an incident beam energy of 82 and 88 MeV. The level scheme of  $^{94}\text{Nb}$  has been modified and extended with 15 new  $\gamma$  rays. Based on  $\gamma$ - $\gamma$  coincidence relationships, DCO ratios and linear polarization measurements, the new level structures in  $^{94}\text{Nb}$  have been interpreted in terms of the shell model calculations performed in the configuration space  $\pi(1f_{5/2}, 2p_{3/2}, 2p_{1/2}, 1g_{9/2})$  for the protons and  $\nu(2p_{1/2}, 1g_{9/2}, 1g_{7/2}, 2d_{5/2})$  for the neutrons.

**Key words:** high spin state; in-beam  $\gamma$ -ray spectroscopy; nuclear shell model

---

**Received date:** yyyy-mm-dd; **Revised date:** yyyy-mm-dd

**Foundation item:** National Natural Science Foundation of China(11975315,U1932209, U2167202, U2167201)

† **Corresponding author:** LI Congbo, E-mail: lieb@ciae.ac.cn